

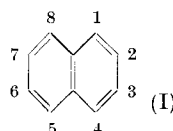
322. Ultraviolet-Absorptionsspektren der Trimethyl-naphtaline

von E. Heilbronner, U. Fröhlicher und Pl. A. Plattner.

(20. X. 49.)

Im Anschluss an die bereits veröffentlichten Absorptionsspektren Alkyl-substituierter Azulene¹⁾ und Phenanthrene²⁾ sollen in dieser Arbeit die Ultraviolet-Absorptionsspektren von Naphtalin und von 12 der 14 möglichen Trimethyl-naphtaline beschrieben werden.

Das Ultraviolet-Absorptionsspektrum des Naphtalins (I) in petrolätherischer Lösung ist bereits öfters gemessen und beschrieben



worden³⁾. Zwischen den zuverlässigsten der publizierten Daten bestehen zwar nur geringfügige, aber doch deutliche Abweichungen. Es wurde deshalb das Spektrum einer Probe analysenreinen Naphtalins, das auf eindeutigem, Isomere ausschliessendem Wege synthetisiert worden war, aufgenommen⁴⁾.

Das Spektrum ist in Figur 1 in Form seiner „ $\log E_{1\text{ cm}}^{1\text{ m}}$ gegen λ “-Kurve aufgetragen, welche Darstellung auch für alle anderen Spektren dieser Abhandlung beibehalten wurde⁵⁾. Lage und Intensität der Maxima sind in der Tabelle A gemeinsam mit den Werten für fünf bereits bekannte Absorptionsspektren des Naphtalins angegeben.

Bei der Einteilung der Maxima in vier Gruppen, sowie bei der Durchnumerierung innerhalb jeder Gruppe nach fallenden Werten der Wellenlänge sind wir wie folgt vorgegangen⁶⁾:

I. Gruppe: $\log E_{1\text{ cm}}^{1\text{ m}} = 1,3$	1 Maximum bei $321 \text{ m}\mu$.
II. Gruppe: $\log E_{1\text{ cm}}^{1\text{ m}} \sim 2,4$	6 Maxima von 311 bis $297 \text{ m}\mu$.
III. Gruppe: $\log E_{1\text{ cm}}^{1\text{ m}} \sim 3,7$	9 Maxima von 286 bis $249 \text{ m}\mu$.
IV. Gruppe: $\log E_{1\text{ cm}}^{1\text{ m}} \sim 5,0$	2 Maxima von 221 bis $217 \text{ m}\mu$.

¹⁾ Pl. A. Plattner und E. Heilbronner, Helv. **30**, 910 (1947); **31**, 804 (1948).

²⁾ E. Heilbronner, H. U. Däniker und Pl. A. Plattner, Helv. **32**, 1723 (1949).

³⁾ Vgl. die vorzügliche Zusammenfassung von R. A. Jones, Chem. Rev. **32**, 1 (1943).

⁴⁾ Die Synthese wurde von Herrn K. Kreis unter der Leitung von Herrn Dr. O. Jeger ausgeführt.

⁵⁾ Da sich in der Literatur immer wieder Verwechslungen bei der Verwendung des Symbols e für den molaren Absorptionskoeffizienten ergeben, möchten wir an seiner Stelle die von Zechmeister eingeführte Bezeichnung $E_{1\text{ cm}}^{1\text{ m}}$ (entsprechend dem bereits eingebürgerten $E_{1\text{ cm}}^{1\%}$) für den Wert von $(C_{\text{Mol/Lit.}} L_{\text{cm}})^{-1} \log J_0/J$ verwenden.

⁶⁾ Vgl. E. Clar, B. **65**, 202, 503 (1932).

Die Gewichte der dritten Zeile der Tabelle A beziehen sich auf die Mittelbildung, deren Resultat in den beiden letzten Kolonnen der gleichen Tabelle vermerkt ist. Die Werte der unter dem *American Petroleum Institute Research Project 44* aufgenommenen Spektren wurden aus den graphischen Darstellungen des *National Bureau of Standards* übernommen und zu den entsprechenden $\log E_{1\text{cm}}^{1\text{m}}$ Werten umgerechnet¹⁾.

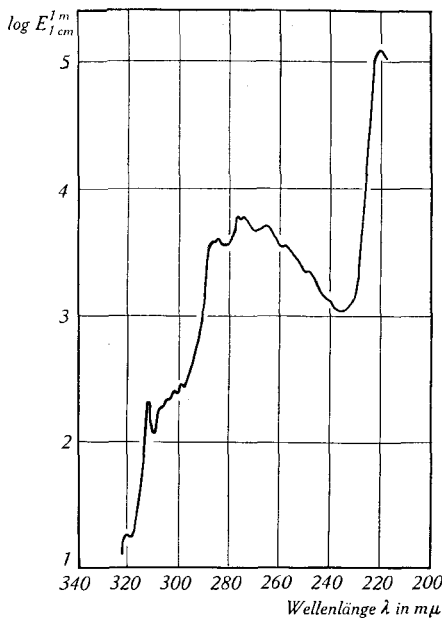


Fig. 1.

Ultraviolet-Absorptionsspektrum des Naphtalins in Pentan.

Die Ultraviolet-Absorptionsspektren von 12 isomeren Trimethyl-naphtalinen sind in den Figuren 2, 3, 4 und 5 dargestellt und Lage und Intensität der beobachteten Maxima in der Tabelle B angegeben.

Über experimentelle Einzelheiten orientiert die Tabelle D des experimentellen Teils.

Die Spektren der folgenden Trimethyl-naphtaline waren bereits bekannt:

Naphtaline IV, IX und XII: P. H. Müller, Dissertation ETH, (1943).

Naphtaline VIII und IX: R. A. Morton und A. J. A. de Gouveia, Soc. 1934, 917.

In der letztgenannten Arbeit ist auch das Spektrum des 2,3,5-Trimethyl-naphtalins angegeben, das in der vorliegenden Abhandlung fehlt.

¹⁾ Angaben über Aufnahmetechnik und Wertetabellen für die optischen Dichten der Maxima fehlen in den Darstellungen.

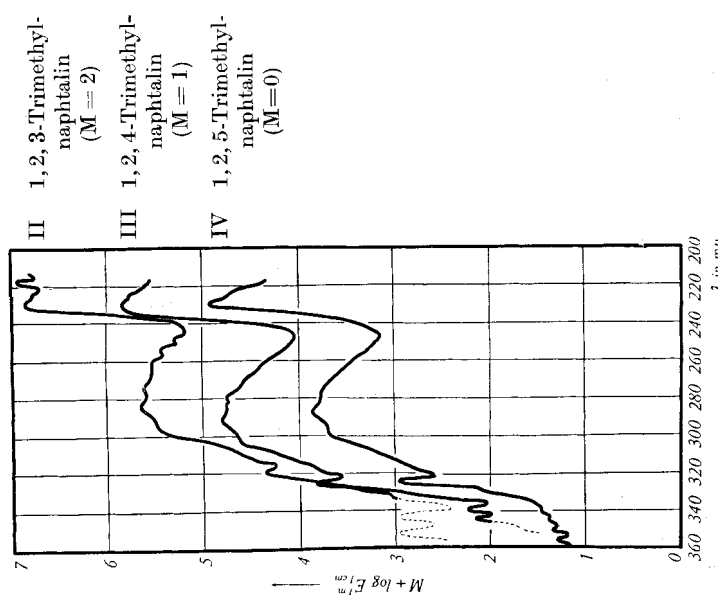


Fig. 2.

UV-Absorptionsspektren der Trimethyl-naphthaline V, VI und VII. Die Spektren der einzelnen Naphthaline sind gegeneinander um je eine Einheit von $\log E_1^{\text{m}}$ verschoben.

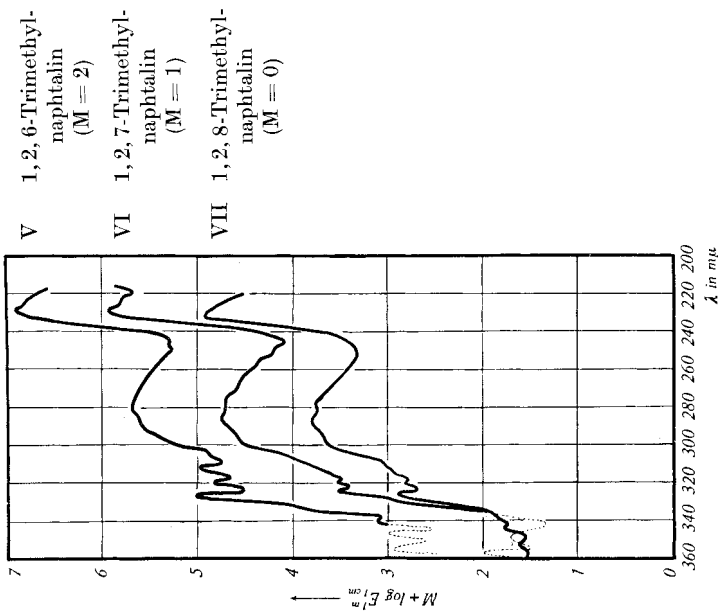


Fig. 3.

UV-Absorptionsspektren der Trimethyl-naphthaline V, VI und VII. Die Spektren der einzelnen Naphthaline sind gegeneinander um je eine Einheit von $\log E_1^{\text{m}}$ verschoben.

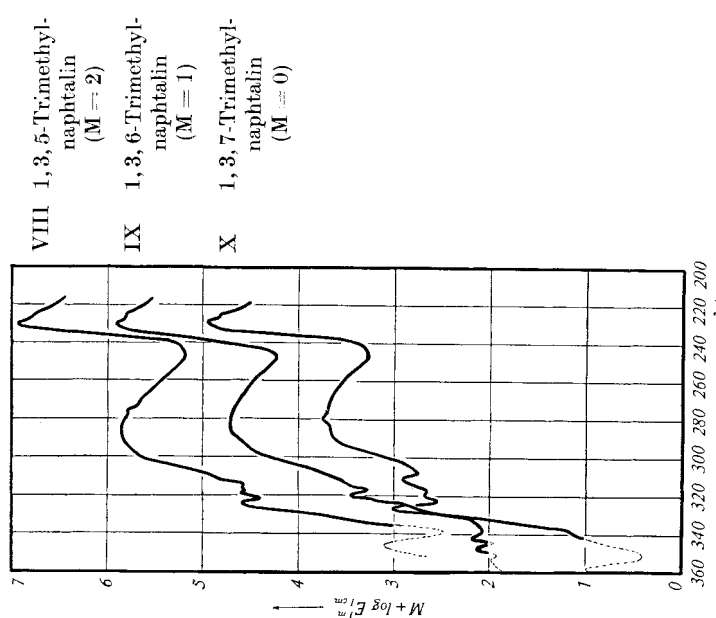


Fig. 4.

UV-Absorptionsspektren der Trimethyl-naphthaline VIII, IX und X. Die Spektren der einzelnen Naphthaline sind gegeneinander um je eine Einheit von $\log E_1^1 \text{ m}$ verschoben.

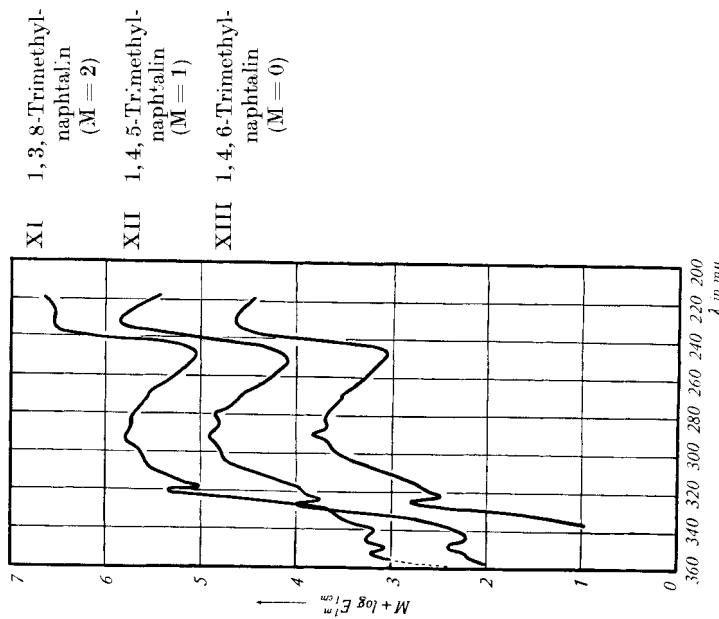


Fig. 5.

UV-Absorptionsspektren der Trinaphthaline XI, XII und XIII. Die Spektren der einzelnen Naphthaline sind gegeneinander um je eine Einheit von $\log E_1^1 \text{ m}$ verschoben.

Tabelle A.

Das Ultraviolet-Absorptionsspektrum des Naphtalins in Petroläther. Alle Wellenlängen verstehen sich in $\text{m} \mu$. Die Zahlen in Klammern beziehen sich auf Schultertstellen.

Autor:	C. R. C. ¹⁾		Sun Oil ²⁾		Shell ³⁾		Plattner ⁴⁾		Morton ⁵⁾		Diese Arbeit		Mittel	
	Lösungsmittel:		Iso-oktan		Petroläther		Petroläther		Pentan		2			
Gewicht:	2		2		2		1		1		2			
	λ	$\log E_1^1 \text{ m}$	λ	$\log E_1^1 \text{ m}$	λ	$\log E_1^1 \text{ m}$	λ	$\log E_1^1 \text{ m}$	λ	$\log E_1^1 \text{ m}$	λ	$\log E_1^1 \text{ m}$		
I. Gruppe 1	320	1,28	321	1,36	321	1,35	321	1,13	321	1,3	321	1,28	321	1,30
II. Gruppe 1	311	2,36 (2,31)	312 (305)	2,38 (2,33)	311 (304)	2,39 (304)	312 (307)	2,50 2,33	311 307	2,54 2,4	311 (306)	2,32 (2,29)	311 (304)	2,39 (2,32)
3	301	2,42	302	2,38	302	2,44	303	2,45	302	2,54	301	2,41	302	2,33
4	297	2,47	297	2,48	297	2,55	299	2,50	298	2,6	298	2,46	299	2,43
5	286	3,58	286	3,59	286	3,58	286	3,63	287	3,74	286	3,58	286	3,58
6	283	3,56	284	3,57	284	3,57	283	3,63	284	3,74	284	3,60	284	3,60
7	275	3,75	275	3,81	275	3,75	275	3,82	276	3,90	276	3,77	275	3,79
8	266	3,70	266	3,77	266	3,77	266	3,77	266	3,78	273	3,78	273	3,79
9	(258) (248) (240)	(3,53) (3,30) (3,05)	(259) (249)	(3,55) (3,34)	(258) (249)	(3,52) (3,33)	(258) (238)	(3,68) 3,06	(257) 3,06	3,70	257	3,55 3,34	258 3,34	3,57 3,33
IV. Gruppe 1	221	5,03	221	4,93	221	5,08 (4,91)			221	5,18	221	5,10	221	5,05 (4,91)
2														

¹⁾ American Petroleum Institute Research Project 44. Ultraviolet Absorption Spectrograms. Serial Nr. 87. Contributed by the California Research Corporation, Richmond, California (1945).

²⁾ American Petroleum Institute Research Project 44. Ultraviolet Absorption Spectrograms. Serial Nr. 130. Contributed by the Sun Oil Company, Norwood, Pennsylvania (1946).

³⁾ American Petroleum Institute Research Project 44. Ultraviolet Absorption Spectrograms. Serial Nr. 169. Contributed by the Shell Development Company, Emeryville, California (1947).

⁴⁾ PL. A. Plattner, unveröffentlichte Arbeiten. Aufgenommen mit einem Hilger-Spektrographen (Type Medium) und Spekkel-Photometer.

⁵⁾ R. A. Morton und A. J. A. de Gouveia, Soc. 1934, 917.

Tabelle B.
Alle Wellenlängen verstehen sich in $m\mu$. Die Zahlen in Klammern beziehen sich auf Schulte-stellen.

Nr.	Verbindung	λ	1		2		3		4		5	
			$\log E_1^1 \text{ cm}$	λ	$\log E_1^1 \text{ cm}$							
1. Gruppe	I	Naphthalin	321	1,30								
	II	1,2,3-Tmn. ¹⁾	352	0,98	344	0,98	(333)	(1,02)				
	III	1,2,4-Tmn.	344	1,18	339	1,24						
	IV	1,2,5-Tmn.	355	1,30	350	1,36	(345)	(1,38)				
	V	1,2,6-Tmn.	355	0,94	347	1,00	341	1,12				
	VI	1,2,7-Tmn.	357	1,00	348	0,71						
	VII	1,2,8-Tmn.	353	1,62	344	1,79	(339)	(1,83)				
	VIII	1,3,5-Tmn.	346	1,10	(332)	(1,50)						
	IX	1,3,6-Tmn.	354	0,98	348	1,13	343	1,18				
	X	1,3,7-Tmn.	358	1,00	(340)	(1,10)						
	XI	1,3,8-Tmn.	352	1,23	344	1,29	(331)	(1,62)				
	XII	1,4,5-Tmn.	(353)	(1,19)	348	1,39						
	XIII	1,4,6-Tmn.										
2. Gruppe	I	Naphthalin	311	2,39	(306)	(2,32)	302	2,43	297	2,50		
	II	1,2,3-Tmn.	320	2,36								
	III	1,2,4-Tmn.	326	2,82	(317)	(2,84)						
	IV	1,2,5-Tmn.	324	2,96								
	V	1,2,6-Tmn.	327	3,03	320	2,83	312	2,97	(305)	(2,88)		
	VI	1,2,7-Tmn.	325	2,53	320	2,53						

¹⁾ Tmn. = Trimethyl-naphthalin.

Tabelle B.
UV.-Absorptionspektren der Trimethyl-naphthaline (Fortsetzung).
Alle Wellenlängen verstehen sich in $m\mu$. Die Zahlen in Klammern beziehen sich auf Schultestellen.

	Nr.	Verbindung	1	2	3	4	5	6
			λ	$\log E_1^1 \text{ m}$	λ	$\log E_1^1 \text{ m}$	λ	$\log E_1^1 \text{ m}$
2. Gruppe	VII	1,2,8-Tmn. ¹⁾	327	2,89	321	2,80 (311)	2,58 (311)	(2,87)
	VIII	1,3,5-Tmn.	324	2,60	319	2,61 (2,52)	315	
	IX	1,3,6-Tmn.	320	2,45	(313)			
	X	1,3,7-Tmn.	327	3,01	320	2,68 (315)	312	2,91 (2,91)
	XI	1,3,8-Tmn.	320	3,35	(315)			
	XII	1,4,5-Tmn.	326	3,00	(320)			
3. Gruppe	XIII	1,4,6-Tmn.	325	2,80				
	I	Naphthalin	286	3,60	284	3,60 (296)	275 (3,50)	3,75 (278)
	II	1,2,3-Tmn.	(296)	(3,50)	285	3,66 (3,59)	276 (292)	3,62 (280)
	III	1,2,4-Tmn.	(304)	(3,59)	292	3,82 (3,68)	280 (288)	3,76 (3,87)
	IV	1,2,5-Tmn.	(300)	(3,68)	288	3,87 (3,57)	(278)	(3,78) (279)
	V	1,2,6-Tmn.	(291)	(3,57)	282	3,69 (3,51)	(279)	(3,72) (269)
	VI	1,2,7-Tmn.	(300)	(3,51)	287	3,76 (3,63)	(279)	(3,59) (3,59)
	VII	1,2,8-Tmn.	(300)	(3,63)	288	3,80 (3,75)	279 (286)	3,75 (3,85)
	VIII	1,3,5-Tmn.	(296)	(3,75)	286	3,85 (3,57)	(278) (284)	(272) (276)
	IX	1,3,6-Tmn.	(293)	(3,57)	284	3,70 (3,65)	(276)	(3,68) (279)
	X	1,3,7-Tmn.	(287)	(3,65)	280	3,74 (2,55)		
	XI	1,3,8-Tmn.	(308)	(2,55)	292	3,80 (2,75)	280 (292)	3,73 (3,90)
	XII	1,4,5-Tmn.	(303)	(2,75)	292	3,90 (3,60)	278 (290)	3,83 (3,82)
	XIII	1,4,6-Tmn.	(299)	(3,60)	290	3,82 (280)	(269)	(3,52) (269)

1) Tmn. = Trimethyl-naphthalin.

Tabelle B.

UV.-Absorptionsspektren der Trimethyl-naphthaline (Fortsetzung).
Alle Wellenlängen verstehen sich in $m\mu$. Die Zahlen in Klammern beziehen sich auf Schulterstellen.

	Nr.	Verbindung	1		2		3	
			λ	$\log E_{1\text{cm}}^{1\text{m}}$	λ	$\log E_{1\text{cm}}^{1\text{m}}$	λ	$\log E_{1\text{cm}}^{1\text{m}}$
4. Gruppe	I	Naphtalin	221	5,05				
	II	1,2,3-Tmn. ¹⁾	230	4,88	(226)	(4,81)	218	4,95
	III	1,2,4-Tmn.	232	4,86	(226)	(4,79)		
	IV	1,2,5-Tmn.	230	4,96	(226)	(4,73)		
	V	1,2,6-Tmn.	229	4,92	(227)	(4,84)		
	VI	1,2,7-Tmn.	230	4,96	(225)	(4,82)		
	VII	1,2,8-Tmn.	232	4,92				
	VIII	1,3,5-Tmn.	231	4,96	(227)	(4,81)		
	IX	1,3,6-Tmn.	230	4,90	(227)	(4,81)		
	X	1,3,7-Tmn.	230	4,96	(227)	(4,84)		
	XI	1,3,8-Tmn.	230	4,55				
	XII	1,4,5-Tmn.	230	4,85				
	XIII	1,4,6-Tmn.	230	4,65				

¹⁾ Tmn. = Trimethyl-naphthalin.

Tabelle C.

Bandenverschiebungen. Alle Zahlenangaben verstehen sich in $m\mu$.

	2. Gruppe	3. Gruppe	3. Gruppe	3. Gruppe	4. Gruppe	Mittel
	Maximum Nr. 1 des Trimethyl- naphthalins minus Maximum Nr. 1 des Naphtalins	Maximum Nr. 1 des Trimethyl- naphthalins minus Maximum Nr. 1 des Naphtalins	Maximum Nr. 2 des Trimethyl- naphthalins minus Maximum Nr. 3 des Naphtalins	Maximum Nr. 3 des Trimethyl- naphthalins minus Maximum Nr. 4 des Naphtalins	Maximum Nr. 1 des Trimethyl- naphthalins minus Maximum Nr. 1 des Naphtalins	
I	0	0	0	0	0	0
II	9	10	10	10	9	9,6
III	15	18	17	14	11	15,0
IV	13	14	13	12	9	12,2
V	16	5	7		8	9,5
VI	14	14	12	13	9	12,5
VII	16	14	13	13	11	13,5
VIII	13	10	11	12	10	11,2
IX	9	7	9	10	9	8,8
X	16	1	5		9	7,7
XI	9	22	17	14	9	14,2
XII	15	17	17	12	9	14,0
XIII	14	13	15	14	9	13,0

Tabelle D.
Experimentelle Angaben.

Nr.	Verbindung	Spektrum Finger Nr.	Derivat	Mikro-F. ¹⁾ (K)	Einwaage ²⁾ in mg	C ₁ ³⁾	C ₁ ⁴⁾	5)
I	Naphthalin	1	Freie Substanz	143 ⁰	1,200	7,05 · 10 ⁻⁴	3,15	3,98
II	1,2,3-Trimethyl-n. ⁶⁾	2	Pikrat	123,5 ⁰	1,098	6,45	3,14	3,67
III	1,2,4-Trimethyl-n.	2	Styphnat	130,5 ⁰	1,174	6,90	3,15	3,64
IV	1,2,5-Trimethyl-n.	2	Styphnat	120 ⁰	1,168	6,86	2,99	3,87
V	1,2,6-Trimethyl-n.	3	Pikrat	127 ⁰	1,053	6,19	3,07	3,79
VI	1,2,7-Trimethyl-n.	3	Pikrat	132 ⁰	1,112	6,53	3,13	4,07
VII	1,2,8-Trimethyl-n.	3	Pikrat	139 ⁰	1,120	6,58	3,00	3,99
VIII	1,3,5-Trimethyl-n.	4	Pikrat	148,5 ⁰	1,210	7,11	2,99	3,96
IX	1,3,6-Trimethyl-n.	4	Trinitrobenzolat	142 ⁰	1,100	6,46	3,14	3,74
X	1,3,7-Trimethyl-n.	4	Pikrat	127,5 ⁰	1,170	6,87	3,32	3,79
XI	1,3,8-Trimethyl-n.	5	Pikrat	144 ⁰	1,260	7,40	3,13	3,68
XII	1,4,5-Trimethyl-n.	5	Pikrat	133 ⁰	1,165	6,84	3,34	3,87
XIII	1,4,6-Trimethyl-n.	5						

¹⁾ Alle Mikro-F. (K) sind korrigiert. (Mikro-F. (K) = Mikroschmelzpunkte bestimmt nach Kofler).

²⁾ Die Einwaagen verstehen sich in mg freien Naphthalins.

³⁾ Konzentration der Stammlösung. Einwaage gelöst in 10 cm³ Petroläther.

⁴⁾ Obere Grenze der log-E₁^{1 m}-Werte, bis zu der hin die Stammlösung bei einer Schichtdicke von 1 cm für die Aufnahmen verwendet wurde.

⁵⁾ Obere Grenze der log-E₁^{1 m}-Werte, bis zu der hin die Lösung der Konzentration C₂ = C₁ · 10⁻¹ bei einer Schichtdicke von 1 cm für die Aufnahmen verwendet wurde. Für die höheren Werte in log E₁^{1 m} kam, bei gleicher Schichtdicke, die Lösung der Konzentration C₃ = C₁ · 10⁻² zur Anwendung.

⁶⁾ Trimethyl-n. = Trimethyl-naphthalin.

Während die Übereinstimmung unserer Messungen mit denjenigen von Müller befriedigend ist, sind die Unterschiede zwischen unseren Aufnahmen und denen von Morton zu gross, um nur auf einen experimentellen Fehler bei der Bestimmung der Spektren zurückgeführt werden zu können.

In der Tabelle C sind die Verschiebungen einander entsprechender Banden des Naphtalins und der Trimethyl-naphtaline angegeben. Der Mittelwert der Verschiebungen ist in der letzten Kolonne vermerkt. Nach ihm lassen sich die Trimethyl-substituierten Naphtaline in zwei Gruppen einteilen:

1. diejenigen, deren Mittelwert der Verschiebungen bei $9 \text{ m}\mu$ liegt und die nur eine Methyl-Gruppe in einer der α -Stellungen haben;
2. diejenigen, deren Mittelwert der Verschiebungen bei $13 \text{ m}\mu$ liegt und die zwei oder drei Methyl-Gruppen in α -Stellungen haben¹⁾.

Eine Diskussion der Regelmässigkeiten soll auf eine spätere Arbeit verschoben werden.

Experimenteller Teil.

Alle in dieser Arbeit angegebenen Ultraviolett-Absorptionsspektren wurden in petrolätherischer Lösung aufgenommen²⁾. Die Messmethodik und die Bestimmung der Schmelzpunkte waren die gleichen wie in der vorhergehenden Abhandlung dieser Reihe³⁾. Die zur Untersuchung gelangenden Trimethyl-naphtaline wurden in Form ihrer Pikrate, Styphnate oder Trinitrobenzolate mehrmals aus Feinsprit umkristallisiert, faserfrei filtriert und im Hochvakuum getrocknet.

Eine genau abgewogene Menge des Derivates wurde in einer kleinen Glaskugel eingewogen, mit Aluminiumoxyd (Aktivität I, alkalisch) verrieben und auf einer 2 cm hohen Säule von 500 mg Aluminiumoxyd der gleichen Aktivität durch Elution mit Petroläther zerlegt. Die Lösung des freien Kohlenwasserstoffes wurde dann jeweils auf 10 cm^3 mit Petroläther verdünnt, und bildete die Stammlösung der Konzentration C_1 .

In der Tabelle D sind die untersuchten Naphtaline, die zur Anwendung gelangten Derivate und deren Schmelzpunkte, die eingewogene Menge Derivat, die Konzentration der Stammlösung und der Intensitätsbereich innerhalb dessen die einzelnen Verdünnungen Anwendung fanden, angegeben.

Zusammenfassung.

Das Ultraviolett-Absorptionsspektrum des Naphtalins wurde in petrolätherischer Lösung neu aufgenommen und mit bereits existierenden Daten verglichen. Die Ultraviolett-Absorptionsspektren von 12 isomeren Trimethyl-naphtalinen wurden in petrolätherischer Lösung bestimmt.

Organisch-chemisches Laboratorium
der Eidg. Technischen Hochschule, Zürich.

¹⁾ Eine Ausnahme bildet einzig das 1,2,7-Trimethyl-naphtalin mit einer mittleren Verschiebung von $12,5 \text{ m}\mu$ und nur einer Methyl-Gruppe in α -Stellung.

²⁾ Vgl. Helv. **31**, 813 (1948).

³⁾ E. Heilbronner, H. U. Däniker und Pl. A. Plattner, Helv. **32**, 1723 (1949).